



PERÚ

Ministerio
de la Producción



IMARPE
INSTITUTO DEL MAR DEL PERÚ

BOLETÍN SEMANAL OCEANOGRÁFICO Y BIOLÓGICO-PESQUERO

Año 5, N°39

Semana 39: 23 - 29/09/2020

DIAGNÓSTICO SEMANAL DEL MAR PERUANO

El mar peruano (dentro de las 200 millas) presentó valores de temperatura superficial del mar (TSM) entre 23,9 °C (al norte de Punta Sal) y 14,0 °C (al norte de Chala). Cerca del litoral persistieron las aguas con TSM menor a 16 °C entre Pimentel y Quilca, asociadas al afloramiento costero cuya amplitud disminuyó respecto a la semana anterior. Asimismo, la proyección de aguas de 19 °C desde la costa de Piura hacia el Noroeste (NO) se debilitó. En el contexto regional, el frente ecuatorial continuó proyectándose hasta el litoral peruano entre Tumbes y el norte de Piura (Figura 1 a); de acuerdo con el modelo Mercator, la intrusión de aguas ecuatoriales superficiales (AES) se replegó hasta Paita, abarcando las 200 millas adyacentes a la costa. La cobertura de las aguas costeras frías (ACF) se mantuvo de Callao al sur; entre Punta Falsa y Chicama persistieron amplias zonas con aguas de mezcla entre las ACF y aguas subtropicales superficiales (ASS), mientras que, de Chimbote a Callao se habría mantenido la aproximación a la costa de las ASS detectada la semana anterior (Figura 1 b). El sector ecuatorial al este de los 90°W mostró la disminución espacial del enfriamiento, con anomalías de hasta -1,9 °C frente a Talara en Perú y de -2,3 °C a unas 70 millas fuera del Golfo de Guayaquil. Por otro lado, se observó un calentamiento anómalo de intensidad leve (+1,1 °C) a más de 250 millas de la Bahía de Caraquez, norte de Ecuador (Figura 2). Con respecto a la semana anterior, la TSM se incrementó en hasta 1 °C en el sector costero peruano entre Punta Falsa y Pisco y en el sector de Islas Galápagos, donde ocurrió el mayor incremento (+1,8 °C); una condición opuesta se presentó entre Tumbes y Salinas (Ecuador) donde el enfriamiento (-3,1 °C) fue significativo (Figura 3 d).

En la franja de ~111 km adyacente a la costa entre el ecuador geográfico y 22°S, la velocidad del viento (VV) varió entre 3,0 y 7,5 m/s, con direccional predominante de la componente sur o sureste. Predominaron vientos moderados (< 6,8 m/s) con anomalías en el rango neutral ($\pm 1,0$ m/s) desde Tumbes a Pisco. Entre Pisco y San Juan de Marcona se presentó una intensificación de la VV, que no causó anomalías positivas, mientras que hacia el sur de San Juan de Marcona, se presentaron vientos débiles (VV < 4,1 m/s), en el rango neutral (Figura 4 a). A escala regional, la anomalía del nivel del mar (ANM), con un filtro de 120 días y en una grilla próxima a las islas Galápagos (http://www.imarpe.gob.pe/ftp/enso/imagenes/ANMM_dd_PacEcPeru.png), descendió durante los primeros 5 días hasta -3,1 cm (27 de setiembre), para luego ascender hasta -2,5 cm el 29 de setiembre. En la franja costera las ANM tendieron a disminuir en los últimos días (Figura 4 b). Por otro lado, la TSM en toda la franja costera, con excepción del enfriamiento puntual presente frente a Paita y Talara, presenta valores en el rango neutral (Figura 4 c).

El flotador ARG0 (82,44°W y 5,42°S) a 84 m.n. frente a Paita el 26 setiembre, mostró una TSM de 16,2 °C y una ATSM de -2,3 °C. En la columna de agua se observó anomalías negativas hasta los 300 m, siendo más intensas en los primeros 100 m (-1 °C) y mostrando una disminución de hasta 4 °C respecto al 16 de setiembre. La salinidad indicó una transición de AES a aguas de mezcla entre ASS-AES sobre los 20 m (Figura 5).

PERSPECTIVAS A CORTO PLAZO

Según el pronóstico del viento del Modelo Atmosférico del Sistema de Pronóstico Global (GFS, por sus siglas en inglés) de NOAA/NCEP (https://pae-paha.pacioos.hawaii.edu/erddap/griddap/ncep_global.html), en gran parte de la costa peruana, en los días 03 y 04 de octubre, predominarían vientos ligeramente fuertes generando anomalías positivas > +1,5 m/s. No obstante, los vientos costeros reducirían su intensidad el día 05 de octubre, con anomalías negativas < -1,0 m/s.

De acuerdo con el pronóstico de Mercator Océano, se espera que se reactiven las anomalías negativas de TSM en la zona norte oceánica frente a la costa peruana en los primeros días de octubre. Sin embargo, después del 6 de octubre se espera que estas anomalías negativas disminuyan en el norte y se produzcan anomalías positivas en el sur, posiblemente en respuesta a las condiciones del viento (http://www.imarpe.gob.pe/imarpe/index.php?id_seccion=101780403000000000000000)

La última simulación del modelo de ondas Kelvin ecuatoriales implementado en el IMARPE, forzado con anomalías del esfuerzo del viento ecuatorial superficial obtenidos del NCEP al 27.09.2020, indica el arribo de una onda **Kelvin fría** (modo 2) al extremo del Pacífico ecuatorial oriental en **octubre**. Por otro lado, otras **dos nuevas ondas Kelvin frías** (modo 1 y modo 2) han sido generadas debido a una intensificación de los vientos alisios en el Pacífico ecuatorial occidental y central a fines de setiembre, de las cuales la onda fría de modo 1 llegará al extremo del Pacífico ecuatorial oriental **entre octubre y noviembre**, mientras que la onda fría de modo 2 llegará entre **noviembre y diciembre**. Se espera que estas ondas frías contribuyan a mantener las condiciones frías anómalas frente a la costa durante la primavera (http://www.imarpe.gob.pe/imarpe/index.php?id_seccion=101780401000000000000000).

I. CONDICIONES FÍSICAS REGIONALES Y DE MACROESCALA

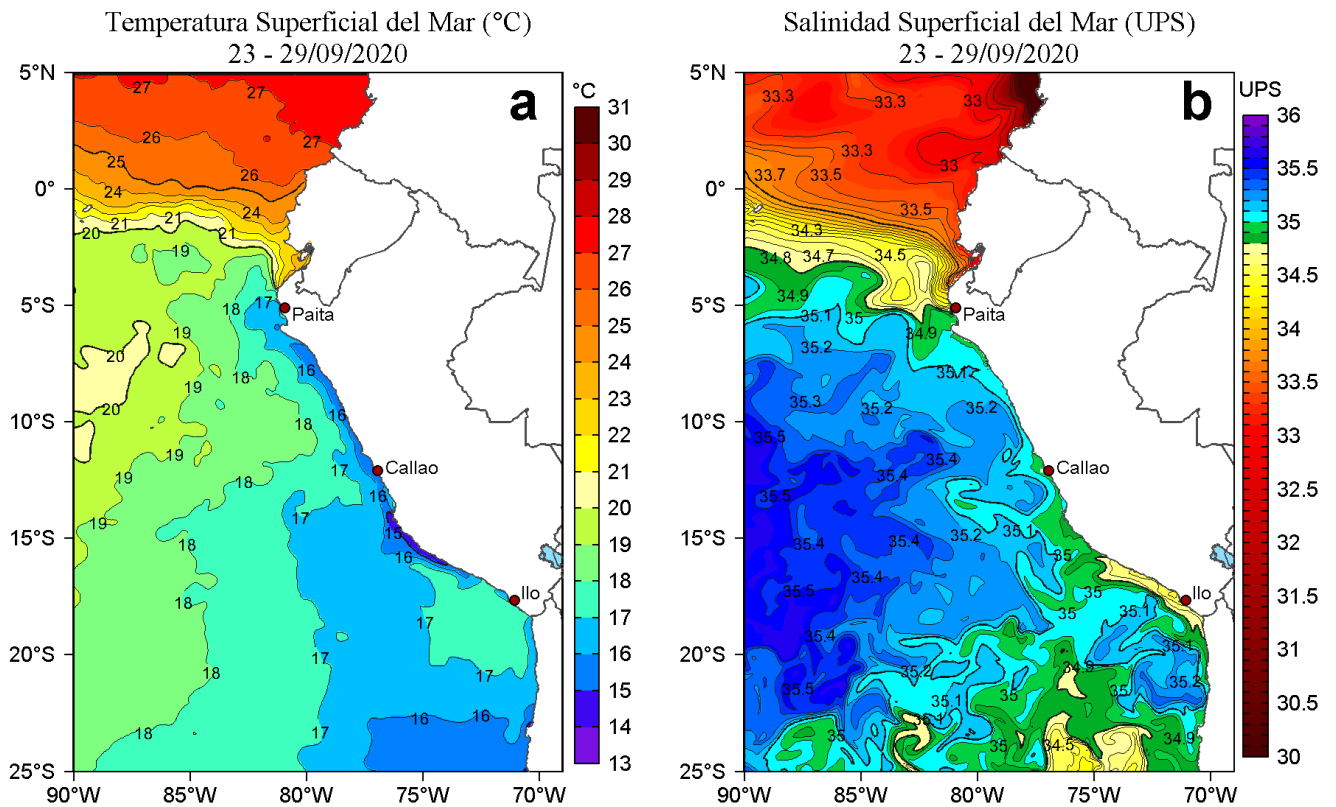


Figura 1. Distribución espacial promedio de: a) Temperatura superficial del mar (TSM, °C) y b) Salinidad superficial del mar (SSM, ups) para la semana del 23 al 29 de setiembre de 2020 en el océano Pacífico tropical oriental. Datos: OSTIA-UKMO-L4-GLOB-v2.0 (UK Met Office, 2012; Donlon et al, 2012) disponible en <https://podaac.jpl.nasa.gov/dataset/OSTIA-UKMO-L4-GLOB-v2.0> para (a) y del GLOBAL_ANALYSIS_FORECAST_PHY_001_024 (Lellouche, J.-M. et al, 2013) disponible en http://marine.copernicus.eu/services-portfolio/access-to-products/?option=com_csw&view=details&product_id=GLOBAL_ANALYSIS_FORECAST_PHY_001_024 para (b). Las escalas de colores de la TSM como de la SSM se presentan a la derecha de cada gráfico. Procesamiento: LHF/AFIOF/DGIOCC/IMARPE.

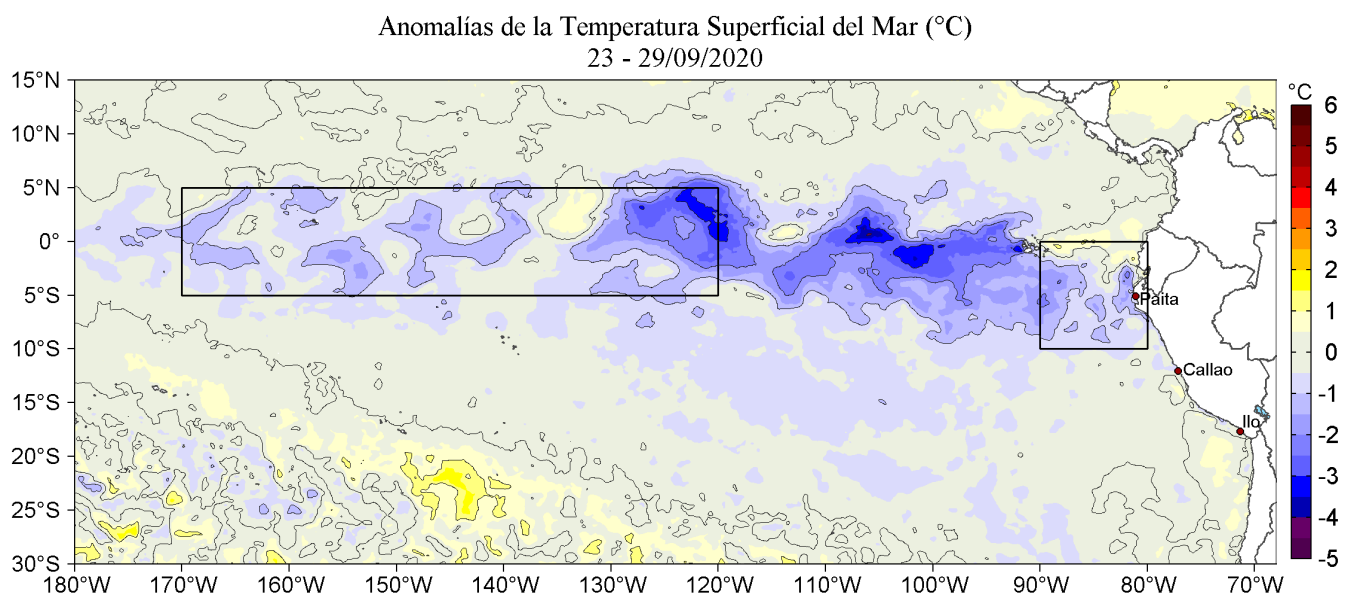


Figura 2. Anomalías promedio de la Temperatura superficial del mar (°C) en el océano Pacífico tropical para la semana del 23 al 29 de setiembre de 2020. Las regiones Niño 3.4 y Niño 1+2 en los sectores central y oriental del océano, respectivamente están delimitadas con una línea de color gris. Datos: OSTIA-UKMO-L4-GLOB-v2.0 (UK Met Office, 2012; Donlon et al, 2012) disponible en <https://podaac.jpl.nasa.gov/dataset/OSTIA-UKMO-L4-GLOB-v2.0>. Las anomalías se calcularon con respecto de la climatología para el período 2007-2016. Procesamiento: LHF/AFIOF/DGIOCC/IMARPE.

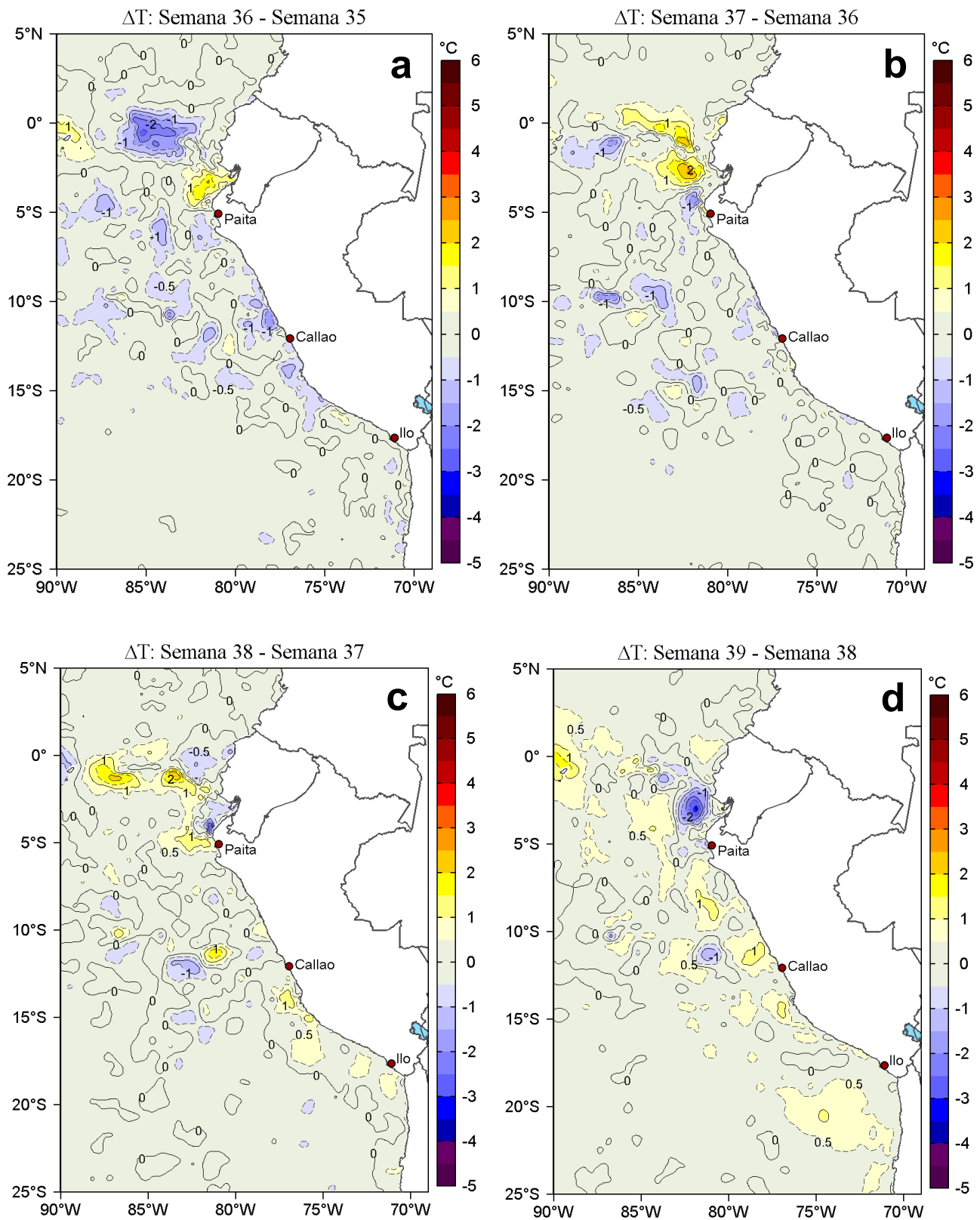


Figura 3. Variación semanal de la temperatura superficial del mar (°C) en el océano Pacífico tropical oriental entre: a) trigésima sexta (02-08 de setiembre) y trigésima quinta (26 de agosto - 01 de setiembre) semana del 2020, b) trigésima séptima (09-15 de setiembre) y trigésima sexta (02-08 de setiembre) semana del 2020, c) trigésima octava (16-22 de setiembre) y trigésima séptima (09-15 de setiembre) semana del 2020 y d) trigésima novena (23-29 de setiembre) y trigésima octava (16-22 de setiembre) semana del 2020. Los mapas, que indican el grado de calentamiento o enfriamiento de una semana a otra, provienen de OSTIA-UKMO-L4-GLOB-v2.0 (UK Met Office, 2012; Donlon et al, 2012). La barra de colores a la derecha muestra la diferencia de la temperatura entre la presente y la semana previa. Procesamiento: LHF/AFIOF/DGIOCC/IMARPE.

II. CONDICIONES LOCALES

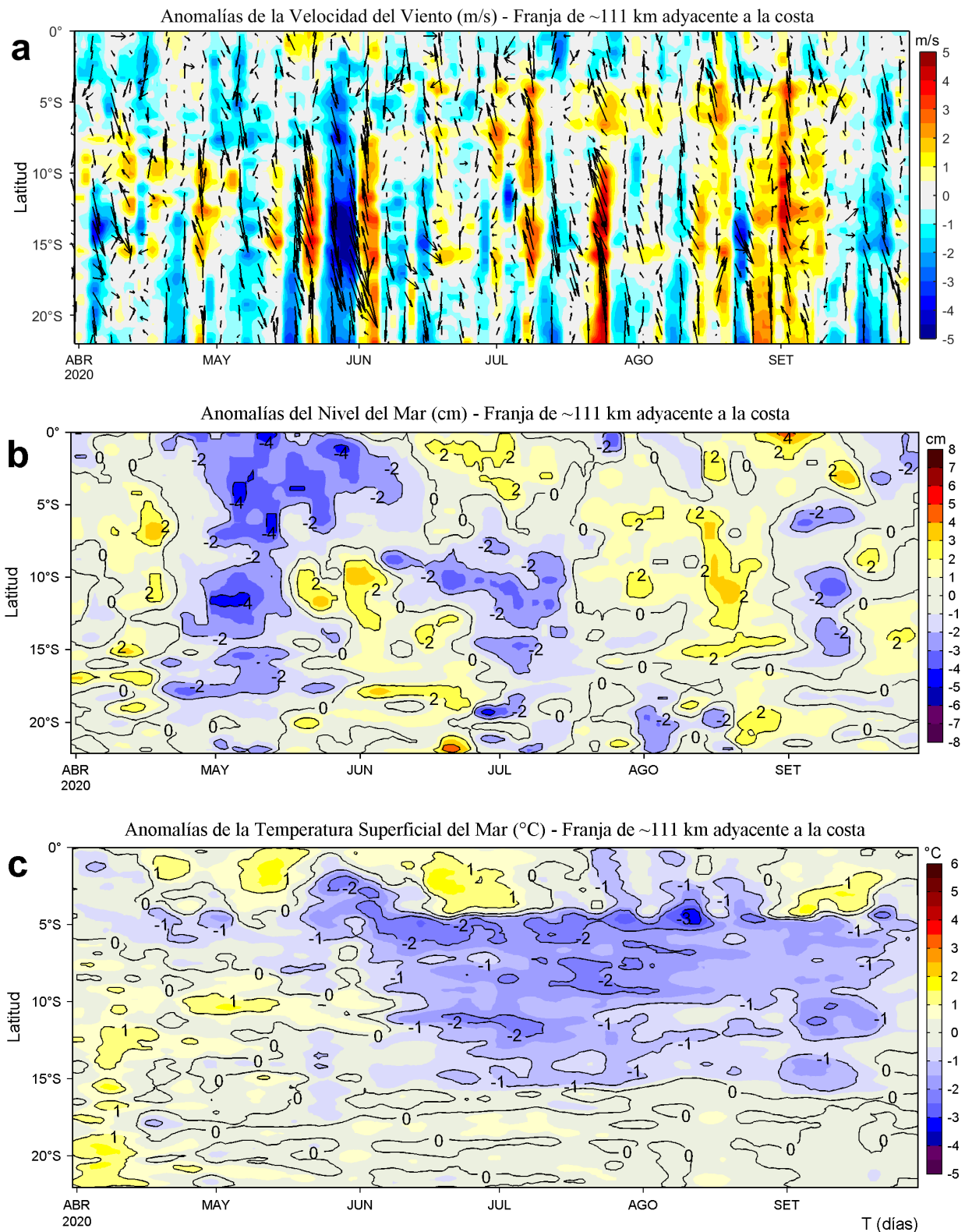


Figura 4. Evolución de las anomalías diarias de: a) Velocidad del viento (m/s), b) Nivel del mar (cm), c) Temperatura superficial del mar (°C) para el último semestre, actualizado al 29 de setiembre de 2020. Los datos de anomalías de nivel del mar consideran un filtro pasa alto de 120 días. Datos: de IFREMER/CERSAT para (a), del Servicio de Monitoreo del Ambiente Marino Copernicus (CMEMS en inglés) para (b), de OSTIA-UKMO-L4-GLOB-v2.0 para (c). Las anomalías fueron calculadas para una franja de 111 km adyacente a la costa entre el ecuador geográfico y 22°S según los promedios climatológicos diarios de 2000-2014 para (a), de 1993-2010 para (b) y de 2007-2016 para (c). La barra de colores a la derecha muestra la escala de las anomalías en cada caso. Procesamiento: LHFM/AFIOF/DGIOCC/IMARPE.

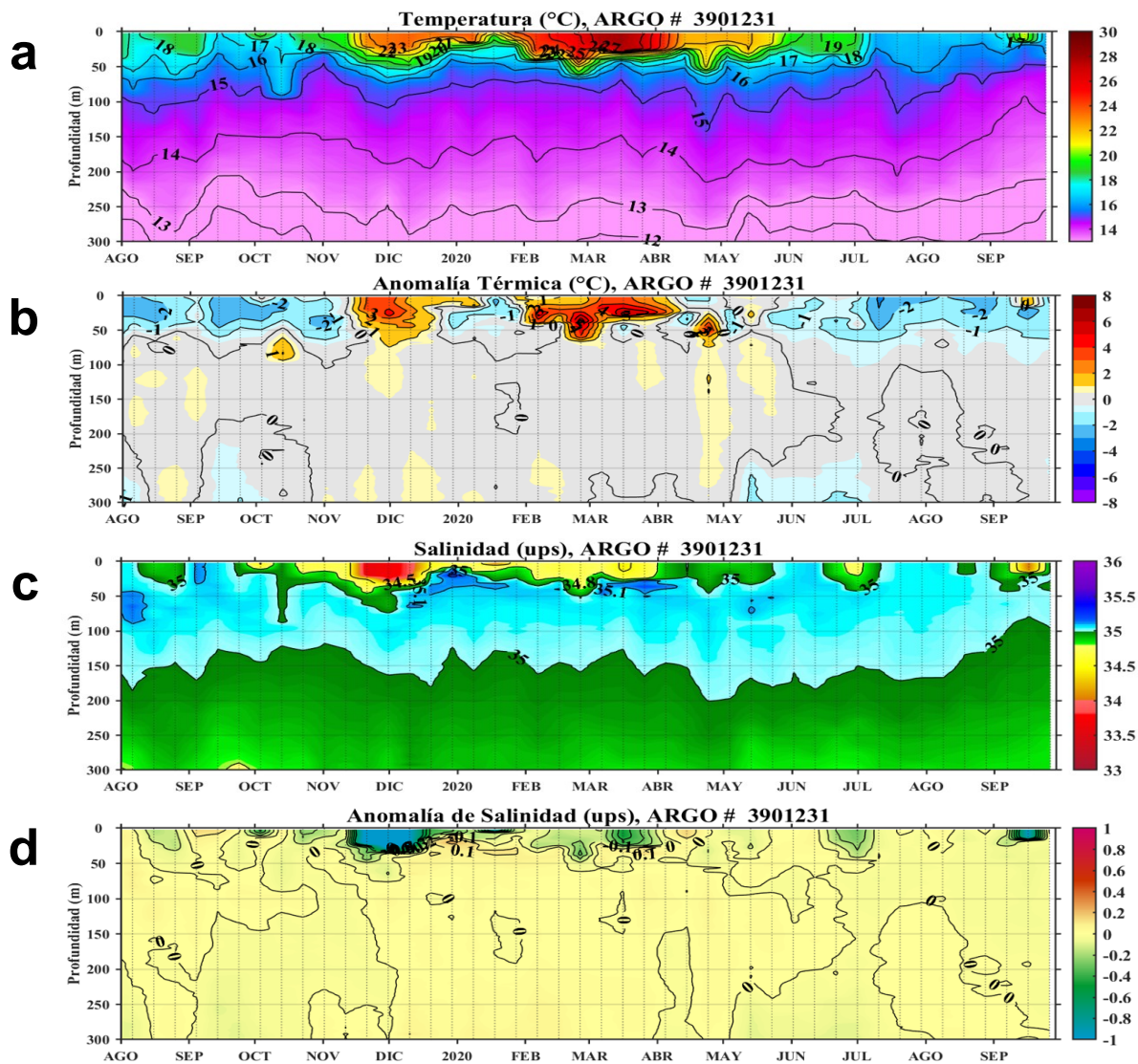


Figura 5. Diagrama Hovmöller de: a) Temperatura del mar (°C), b) Anomalías térmicas (°C), c) Salinidad del agua de mar (ups) y d) Anomalía de la salinidad del mar (ups) a 84 m.n. frente a Paita (82,44°W y 5,42°S) de agosto del 2019 al 26 de setiembre de 2020. Las anomalías de la temperatura del agua (°C) y de salinidad (ups) se calcularon de acuerdo a Domínguez et al (2017). Los puntos en la columna de agua indican los días en que el perfilador ARGO registró información. Datos: ARGO. Procesamiento: LHQM/AFIOQ/DGIOCC/IMARPE.

III. ÍNDICES CLIMÁTICOS Y BIOLÓGICO-PESQUEROS

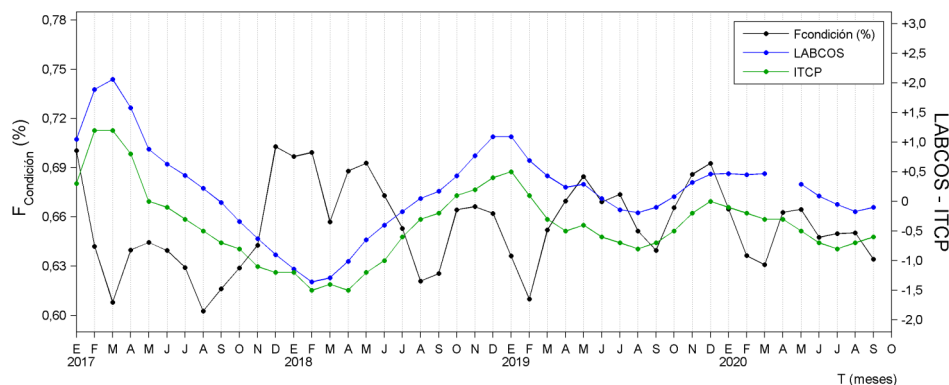


Figura 6. Series de tiempo mensual de los índices: LABCOS (línea punteada de color azul), Índice Térmico Costero Peruano (ITCP, línea de color verde) y el Factor de Condición (%), en color negro) desde enero de 2017. La metodología para estimar estos índices se encuentran en Quispe y Vásquez (2015), Quispe et al (2016), Takahashi, et al. (2014) y Perea et al (2015), respectivamente. Procesamiento: LHFQM/AFIOF/DGIOCC/IMARPE.

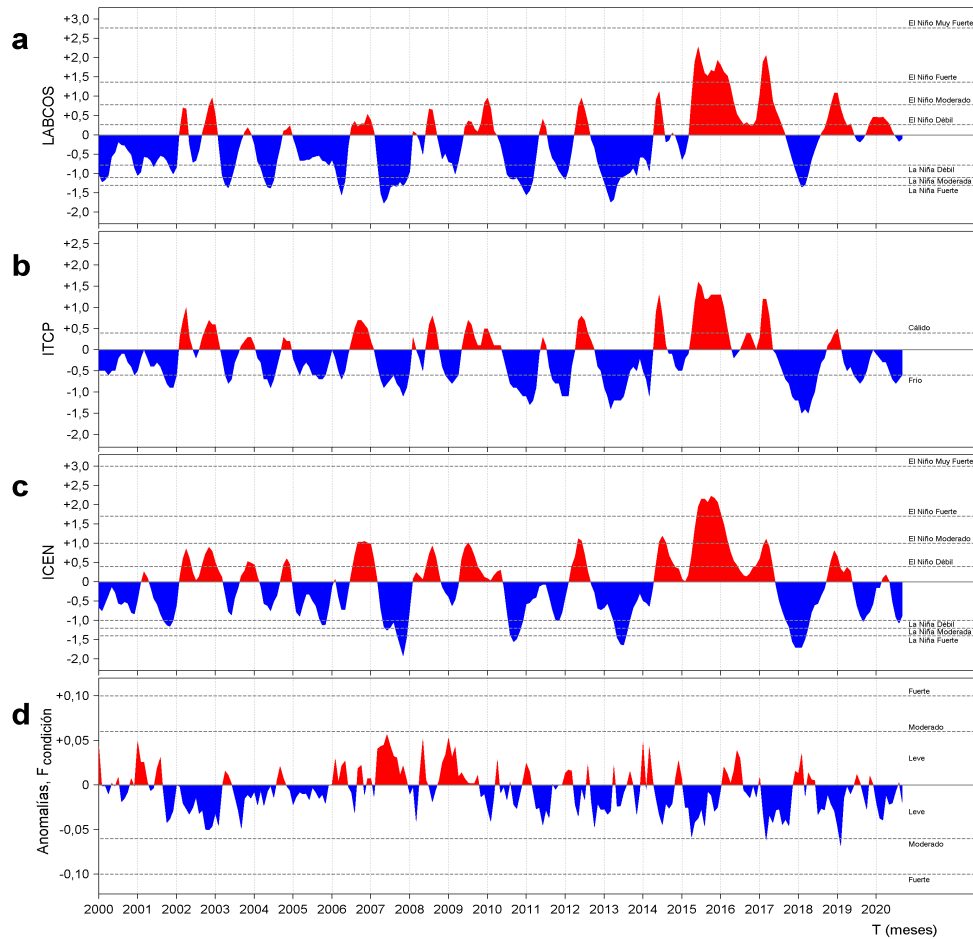


Figura 7. Series de tiempo de índices climáticos y biológico-pesqueros: a) Índice LABCOS (Quispe y Vásquez, 2015), b) Índice Térmico Costero Peruano (ITCP; Quispe et al., 2016), c) Índice Costero El Niño (ICEN; Takahashi et al., 2014) y d) Anomalías del Factor de Condición de la anchoveta en la región norte-centro (Perea et al., 2015) desde el año 2000.

IV. PERSPECTIVAS

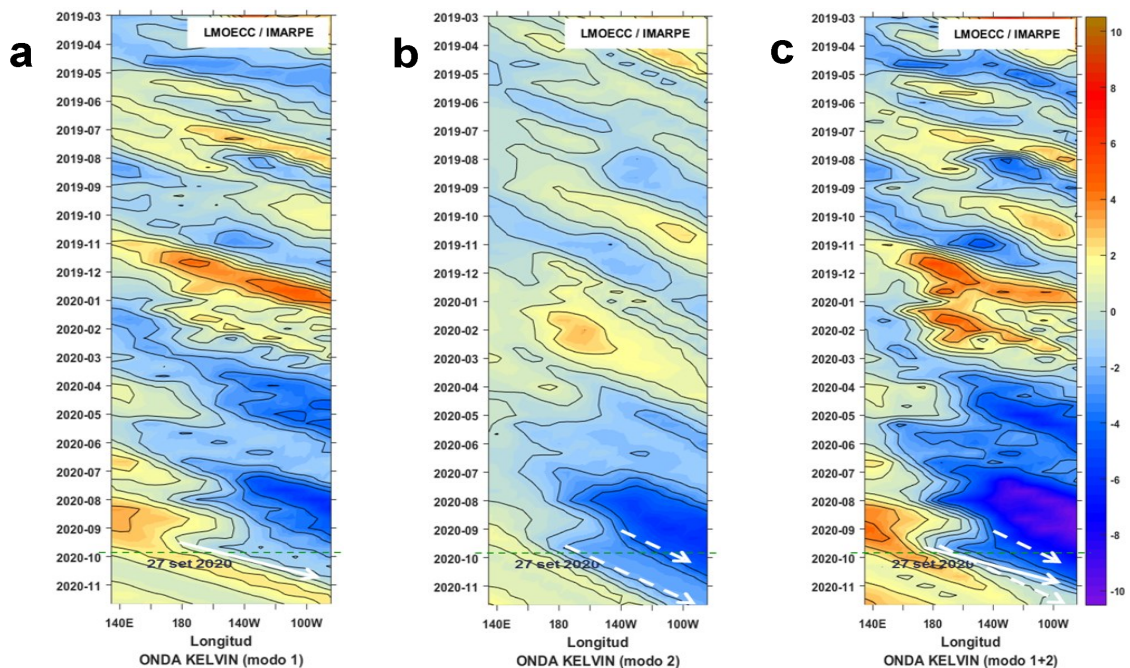


Figura 8. Diagramas Hovmöller longitud-tiempo de las Ondas Kelvin Ecuatoriales en el Océano Pacífico Ecuatorial entre 130°E y 95°W forzado con anomalías del esfuerzo del viento (N/m^2) del NCEP (Kalnay et al. 1996) de acuerdo con la metodología de Illig et al. (2004) y Dewitte et al. (2002): a) Modo 1, b) Modo 2 y c) Modos 1+2. La línea discontinua horizontal de color verde indica el inicio del pronóstico con anomalías del esfuerzo del viento igual a cero. Los valores negativos corresponden a ondas Kelvin de afloramiento “frías” (flechas blancas).

RECONOCIMIENTOS

The Group for High Resolution Sea Surface Temperature (GHRSSST) Multi-scale Ultra-high Resolution (MUR) Level 4 OSTIA Global Foundation Sea Surface Temperature Analysis (GDS version 2). Ver. 2.0 data were obtained from the NASA EOSDIS Physical Oceanography Distributed Active Archive Center (PO.DAAC) at the Jet Propulsion Laboratory, Pasadena, CA (<http://dx.doi.org/10.5067/GHGMR-4FJ01>).

IFREMER/CERSAT. 2005. ERS-1 Level 3 Gridded Mean Wind Fields (IFREMER). Ver.1.PO.DAAC, CA, USA (<ftp://anonymous@ftp.ifremer.fr/ifremer/cersat/products/gridded/mwf-ers1>).

The Ssalto/Duacs altimeter products were produced and distributed by the Copernicus Marine and Environment Monitoring Service (CMEMS) (<http://www.marine.copernicus.eu>).

The products from the MERCATOR OCEAN system distributed through the Marine Copernicus Service (<http://www.marine.copernicus.eu>).

Argo data (<http://doi.org/10.17882/42182>) were collected and made freely available by the International Argo Program and the national programs that contribute to it. (<http://www.argo.ucsd.edu>, <http://argo.jcommops.org>). The Argo Program is part of the Global Ocean Observing System.

The Pacific Islands Ocean Observing System (PacIOOS) is funded through the National Oceanic and Atmospheric Administration (NOAA) as a Regional Association within the U.S. Integrated Ocean Observing System (IOOS). PacIOOS is coordinated by the University of Hawaii School of Ocean and Earth Science and Technology (SOEST).

REFERENCIAS

- Perea, A., B. Buitrón, J. Mori, J. Sánchez, C. Roque, 2015. Anomalías de los Índices reproductivos de anchoveta *Engraulis ringens* en relación al ambiente. En: Boletín Trimestral Oceanográfico, Volumen 1, Números 1-4, pp.: 27-28.
- Dewitte B., D. Gushchina, Y. du Penhoat and S. Lakeev, 2002: On the importance of subsurface variability for ENSO simulation and prediction with intermediate coupled models of the Tropical Pacific: A case study for the 1997-1998 El Niño. Geoph. Res. Lett., vol. 29, no. 14, 1666, 10.1029/2001GL014452.
- Domínguez, N., C. Grados, L. Vásquez, D. Gutiérrez, A. Chaigneau. Climatología termohalina frente a las costas del Perú. Periodo: 1981-2010. Volumen 44, Número 1, Enero-Marzo 2017. Inf Inst Mar Perú 44(1).
- Donlon, C. J, M. Martin, J. Stark, J. Roberts-Jones, E. Fiedler, W. Wimmer, 2012. The Operational Sea Surface Temperature and Sea Ice Analysis (OSTIA) system. Remote Sen. Env., 116, 140-158.
- Kalnay, E., M. Kanamitsu, R. Kistler, W. Collins, D. Deaven, L. Gandin, M. Iredell, S. Saha, G. White, J. Woollen, Y. Zhu, A. Leetmaa, B. Reynolds, M. Chelliah, W. Ebisuzaki, W. Higgins, J. Janowiak, K. Mo, C. Ropelewski, J. Wang, R. Jenne, and D. Joseph, 1996: The NCEP/NCAR 40-Year Reanalysis Project. Bull. Amer. Meteor. Soc., 77, 437-471.
- Lellouche, J.-M., Le Galloudec, O., Drévilion, M., Régnier, C., Greiner, E., Garric, G., Ferry, N., Desportes, C., Testut, C.-E., Bricaud, C., Bourdallé-Badie, R., Tranchant, B., Benkiran, M., Drillet, Y., Daudin, A., and De Nicola, C.: Evaluation of global monitoring and forecasting systems at Mercator Océan, Ocean Sci., 9, 57-81, 2013.
- Quispe Ccallauri, C, J. Tam, H. Demarcq, C. Romero, D. Espinoza, A. Chamorro, J. Ramos, R. Oliveros, 2016. El Índice Térmico Costero Peruano. En: Boletín Trimestral Oceanográfico, Volumen 2, Número 1, pp: 7-11.
- Quispe, J. y L. Vásquez, 2015. Índice “LABCOS” para la caracterización de evento El Niño y La Niña frente a la costa del Perú, 1976-2015. En: Boletín Trimestral Oceanográfico, Volumen 1, Números 1-4, pp.: 14-18.
- Takahashi, K, K. Mosquera y J.Reupo, 2014. El Índice Costero El Niño (ICEN): historia y actualización. Boletín Técnico - Vol. 1 Nro. 2, Febrero del 2014.
- UK Met Office, 2012. GHRSSST Level 4 OSTIA Global Foundation Sea Surface Temperature Analysis (GDS version 2). Ver. 2.0. PO.DAAC, CA, USA. Dataset accessed [YYYY-MM-DD] at <http://dx.doi.org/10.5067/GHOST-4FK02>.

El Boletín Semanal Oceanográfico y Biológico Pesquero presenta la evolución de variables físicas en la superficie del océano y atmósfera, así como de la estructura físico-química del océano frente a Paita -lugar referente del mar peruano para la vigilancia climática asociada a El Niño-Oscilación del Sur- con el fin de comprender los efectos de la variabilidad de corto plazo en las condiciones oceanográficas del mar peruano. Esta información se sustenta en las redes observacionales que administra el IMARPE y que se han fortalecido en el marco del Programa Presupuesto Por Resultados - PPR 068 El Niño “Reducción de Vulnerabilidad y Atención de Emergencias por Desastres” y su producto “Entidades Informadas en forma permanente y con pronósticos frente al Fenómeno El Niño”. Índices oceanográficos y pesqueros locales así como regionales de macroescala y relevante información satelital complementan las observaciones in situ. El Boletín espera informar de forma oportuna y permanente sobre el estado del océano a diferentes grupos de interés y sociedad en general, contribuir a mejorar el conocimiento del mar peruano así como coadyuvar a la gestión del riesgo de desastres naturales del Estado Peruano.

Actualmente, el monitoreo oceanográfico rutinario frente a Paita se ha suspendido debido a las disposiciones sanitarias por la presencia del COVID-19; en su reemplazo, se presenta información de perfiladores ARGO disponibles frente a esta localidad.



El contenido del Boletín se puede reproducir citándolo así: Boletín Semanal Oceanográfico y Biológico-Pesquero [en línea]. Callao, Instituto del Mar del Perú. Año 5, N°39, 30 de setiembre de 2020. [http://www.imarpe.pe/imarpe/index.php?id_seccion=101780204000000000000000](http://www.imarpe.pe/imarpe/index.php?id_seccion=1017802040000000000000).

© 2020 Instituto del Mar del Perú.
Esquina Gamarra y General Valle, Chucuito, Callao - Perú.
Hecho el Depósito Legal en la Biblioteca Nacional del Perú N°2016-02931.

Consultas: Servicios y Productos Oceanográficos
Laboratorio de Hidrofísica Marina (LHFM) - AFIOF/DGIOCC/IMARPE.
Correo electrónico: lhfm_productos@imarpe.gob.pe;
lhfm.productos@gmail.com.
Teléfono: (51 1) 208 8650 (Extensión 824).

Suscripciones: Complete [este formulario](#).